

تصحیح آثار دیواره برای یک ایرفویل در جریان مادون صوت

مهران مصدري^۱، محسن باشنا^۲، ارشیا تبریزیان^{۳*}

۱ استادیار، مهندسی هوافضا، دانشکده علوم و فنون نوین، دانشگاه تهران، m.masdari@ut.ac.ir

۲ کارشناس ارشد، مهندسی هوافضا، دانشکده علوم و فنون نوین، دانشگاه تهران

تاریخ دریافت: ۱۳۹۶/۰۸/۲۹

تاریخ پذیرش: ۱۳۹۶/۱۲/۱۱

چکیده

از جمله مهمترین دلائل اختلاف نتایج حاصل از آزمایشات تونل باد با شرایط پروازی، آثار دیوارهای مقطع آزمون تونل باد است. دیوارهای دیوارهای در مقطع آزمون جریان هوا را در جهت‌های طولی و عرضی تحت تأثیر قرار می‌دهند و سبب ایجاد اختلاف بین مقادیر اندازه‌گیری شده با شرایط جریان آزاد می‌شوند. در این مقاله آثار انسداد مربوط به یک ایرفویل فوق بحرانی در حالت پایا به ازای زوایای حمله متفاوت بررسی و روشی برای اصلاح آثار دیوارهای تدوین شده است. آزمون‌ها در تونل باد مادون صوت و مدار بسته در سرعت ۳۰ متر بر ثانیه و رینولدز معادل ۶۰۰۰۰ با استفاده از اندازه‌گیری توزیع فشار روی مدل و دیواره تونل انجام شده است. با استفاده از توزیع فشار اندازه‌گیری شده روی دیواره تونل، میدان جریان حول مدل با پتانسیل‌های چاه و چشم به صورت تقریبی تخمین زده شده و با به کار گیری الگوریتمی سریع، توزیع این پتانسیل‌ها در راستای خط مرکزی تونل محاسبه و در نهایت با محاسبه آثار انسداد، توزیع فشار، فشار دینامیکی و ضرایب ائرودینامیکی اصلاح شده است. همچنین ضرایب ائرودینامیکی اصلاح شده از دو روش مجزا مقایسه شده است. نتایج حاصل از این دو روش اختلاف نسبتاً کمی به ازای زوایای حمله متفاوت دارند و بیشترین اختلاف بهمیزان ۷ درصد مربوط به زاویه حمله ۲۰ درجه به دست آمده است. همچنین روش‌های به کار گرفته شده حاکی از دقت مناسب تصحیحات روی ضرایب ائرودینامیکی می‌باشد.

واژگان کلیدی

آزمایش تجربی، ایرفویل فوق بحرانی، فشار روی دیواره، آثار انسداد، آثار دیواره، انحراف جریان

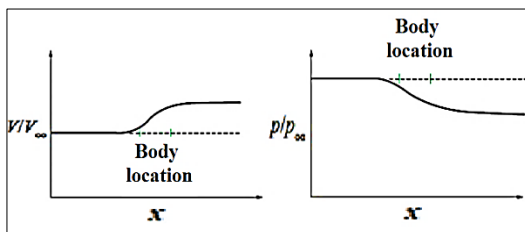
۱. مقدمه

به گونه‌ای که با وجود دیوارهای تونل این نتایج بتوانند در شرایط جریان آزاد استفاده شوند. دیوارهای در مقطع آزمون جریان هوا را

هدف اساسی از انجام آزمایش‌های تونل باد، اندازه‌گیری مقادیر ائرودینامیکی در شرایط تعریف شده و بهشت تحت کنترل است؛

سرعت جریان بیرون از دنباله باید بیشتر باشد؛ زیرا یک حجم ثابت از سیال باید از مقطع آزمون عبور کند. با توجه به قانون برنولی، سرعت بالاتر جریان اصلی سبب کاهش فشار می‌شود. این کاهش فشار سبب قرارگرفتن مدل در یک گرادیان فشار شده که نتیجه آن افزایش سرعت روی مدل است. این اثر اندازه‌گیری نیروی پسا را تحت تأثیر قرار می‌دهد و در شکل ۲ نشان داده شده است. با توجه به اینکه آثار انسداد بدن و دنباله به صورت پیوسته و همزمان به وجود می‌آیند، پس اثر انسداد کل ناشی از جمع آثار برای انسداد بدن و دنباله است. تغییرات فشار استاتیکی و سرعت برای انسداد کل در شکل ۳ نمایش داده شده است.

۴. انحنای خطوط جریان^۳: حضور سقف و کف تونل مانع از انحنای طبیعی جریان می‌گردد و سبب می‌شود مدل خمیده‌تر از مقدار واقعی بمنظور برسد. معمولاً ضریب تصحیح انسداد کل^۴ به صورت جمع سرعت اختلالی ایجاد شده توسط انسداد دنباله و انسداد مدل بیان می‌شود. با اینحال تعیین عوامل فوق برای هندسه‌های غیرمعمول کاری بسیار دشوار است.



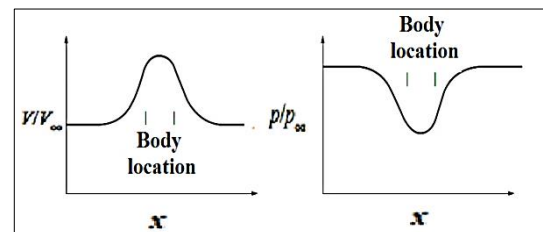
شکل ۲. تغییرات سرعت و فشار نسبت به اثر انسداد دنباله [۲]

در جهت‌های طولی و عرضی تحت تأثیر قرار می‌دهند و سبب ایجاد اختلاف بین مقادیر اندازه‌گیری شده با شرایط جریان آزاد می‌شوند. از جمله مهمترین این آثار می‌توان به موارد ذیل اشاره کرد [۱]:

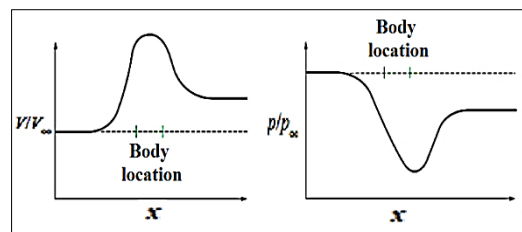
۱. شناوری افقی^۵: تغییر فشار استاتیک در امتداد محور طولی مقطع آزمون است. این اثر، که ناشی از ضخیم شدن لایه مرزی و پیشرفت آن است، به کاهش مؤثر سطح جریان و در نتیجه تمایل مدل به سمت کشیده شدن به پایین دست جریان منجر می‌شود. معمولاً این اثر بیشتر اندازه‌گیری نیروی پسا را تحت تأثیر قرار می‌دهد.

۲. انسداد بدن^۶: حضور مدل در مقطع آزمون سبب کاهش جریان هوا شده، با توجه به قانون‌های بقای جرم و برنولی این اثر سبب افزایش سرعت جریان حول مدل می‌شود و در اندازه‌گیری تمامی نیروها و گشتاورها حول مدل خطأ ایجاد می‌کند. در شکل ۱ این اثر به صورت شماتیک نمایش داده شده است.

۳. انسداد دنباله^۷: سرعت متوسط در دنباله پشت مدل کمتر از سرعت جریان تونل شده و با توجه به قانون بقای جرم



شکل ۱. تغییرات سرعت و فشار نسبت به اثر انسداد بدن [۲]



شکل ۳. تغییرات سرعت و فشار نسبت به اثر انسداد کل [۲]

۲. تجهیزات آزمایش

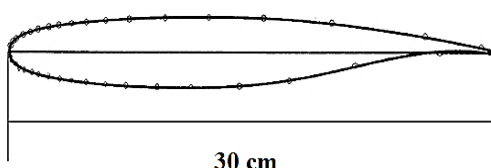
تونل باد مورد استفاده در این آزمایشات متعلق به پژوهشکده مکانیک سازمان فضایی واقع در شیراز است. ابعاد کلی این تونل ۳/۸×۶/۵ متر و مجموع توان قابل جذب آن ۲۳۰ کیلووات

است. مقطع کاری آن نیز $80 \times 80 \times 200$ سانتی‌متر است. سرعت هوا در داخل مقطع آزمون از ۱۰ تا ۱۰۰ متر بر ثانیه قابل تنظیم است که با تنظیم مداوم و متواالی و توزیع ثابت انجام می‌گیرد.

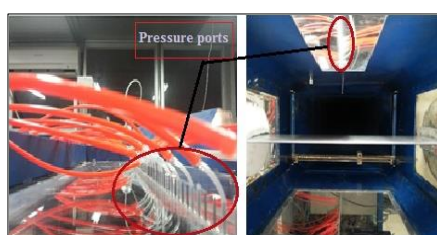
دیواره از دو صفحه سوراخ شده در بالا و پایین مدل استفاده شد. سوراخها با فاصله یک سانتی‌متر نسبت به هم ایجاد شده‌اند و دارای قطر $1/5$ میلی‌متر می‌باشند. سوراخ‌ها در دیواره بالایی از 24 سانتی‌متر جلوتر از لبه حمله تا 12 سانتی‌متر عقب‌تر از لبه فرار و در دیواره پایین از $1/32$ سانتی‌متر جلوتر از لبه حمله تا $14/68$ سانتی‌متر عقب‌تر از لبه فرار گسترش یافته‌اند.

در نخستین گام از آزمایش‌های مقدماتی، شدت آشفتگی جریان تونل در سرعت‌های مختلف توسط دستگاه سرعت‌سنج سیم داغ اندازه‌گیری شد تا سرعت مناسب با کمترین شدت آشفتگی ممکن مشخص شود. برای این منظور، با استفاده از حسگر سیم داغ سرعت جریان در هر لحظه با فرکانس 1000 هرتز اندازه‌گیری و شدت آشفتگی جریان محاسبه شده است. نتایج حاصل در شکل 6 نمایش داده شده است. همان‌گونه که مشخص است، جریان با سرعت 30 تا 50 متر بر ثانیه دارای کمترین مقدار شدت آشفتگی به میزان $15/0$ درصد است. در نهایت سرعت 30 متر بر ثانیه، معادل رینولدز 400000 در این بروزی‌ها انتخاب شد. به‌طور کلی در اندازه‌گیری دو نوع خطا شامل خطای پیش‌فرض^۷ و خطای دقت^۸ وجود دارد. خطای پیش‌فرض مرتبط با دقت وسائل اندازه‌گیری و خطای دقت مرتبط با میزان خطا در روش اندازه‌گیری است که به صورت آماری محاسبه می‌شود. نتایج مربوط به عدم قطعیت برای توزیع فشار روی دیواره در زاویه حمله صفر و 16 درجه در شکل‌های 7 و 8 ارائه شده است. مقدار حداقل آن در زاویه حمله صفر درجه 20 درصد و در زاویه حمله 16 درجه 11 درصد است.

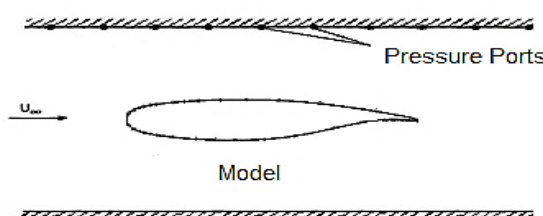
مدل مورد آزمایش یک ایرفویل مافق بحرانی با طول وتر 30 و عرض 80 سانتی‌متر و نسبت ضخامت 10 درصد است. یک ردیف سوراخ در وسط بال برای اندازه‌گیری فشار ایجاد شده است که این سوراخ‌ها فشار را از طریق سوزن‌های فلزی با قطر داخلی نزدیک به 1 میلی‌متر به بیرون از مدل هدایت می‌کنند. در شکل 4 نمایی از هندسه ایرفویل و موقعیت برداشت فشار را روی سطح آن نمایش داده شده است. همچنین در شکل 5 نمایی از نحوه قرارگیری مدل در مقطع آزمون تونل باد نشان داده شده است. برای ارتباط بین سوزن‌های خروجی از بال و حسگرهای فشارسنج از شلنگ به قطر داخلی 2 میلی‌متر و طول حدودی 2 متر استفاده می‌شود. جهت اندازه‌گیری فشار کل و فشار استاتیک از مبدل‌های تفاضلی، که اختلاف فشار نسبی را اندازه‌گیری می‌کنند، استفاده شده است. برای جمع‌آوری داده‌ها نرم‌افزاری داده‌برداری LABVIEW طراحی شده که قابلیت تنظیم پارامترهای داده‌برداری همچون زمان و فرکانس و همچنین تحلیل سیگنال‌های به‌دست آمده را دارد. سیگنال‌های آنالوگ تولیدشده توسط مبدل‌های فشار به‌کمک یک برد ترمینال SCB-100 ساخت شرکت نشان اینسترومیت^۹ دریافت و سپس به صورتی یکپارچه و موازی به‌سمت کارت داده‌برداری هدایت می‌شوند. برای تبدیل سیگنال‌های خروجی حسگرها از حالت آنالوگ به دیجیتال از یک کارت داده‌برداری NI-DAQ-64E-3 کاناله با مدل همین شرکت استفاده شده و به‌کمک نرم‌افزار داده‌برداری، این سیگنال‌ها به صورت یک فایل متی ذخیره شده و نهایتاً برای تحلیل به نرم‌افزار تحلیل داده‌ها ارسال می‌شود. برای اندازه‌گیری فشار روی

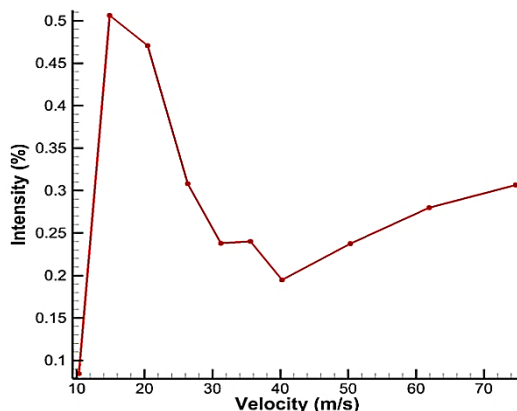


شکل 4 . شماتیک ایرفویل فوق بحرانی مورد استفاده در آزمایشات

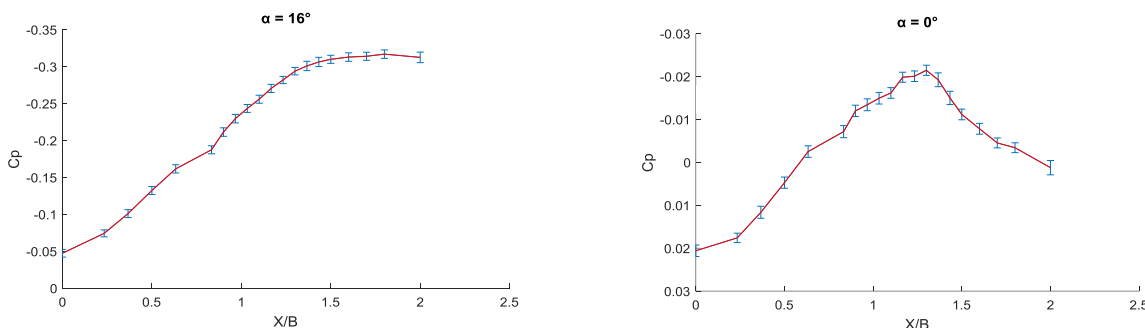


شکل 5 . مدل و سوراخ‌های تعیینه شده روی دیواره‌ها جهت اندازه‌گیری فشار





شکل ۶. تغییرات شدت آشفتگی براساس سرعت جریان



شکل ۸. عدم قطعیت برای توزیع فشار روی دیواره در زاویه حمله ۱۶ درجه

شکل ۷. عدم قطعیت برای توزیع فشار روی دیواره در زاویه حمله صفر درجه

آزمایش هواپیماهای مختلف با بال دلتا و ضریب منظری کوچک را در تونل‌های باد رویال بررسی کرد. بررسی‌ها نشان‌دهنده تفاوت‌های مشهود در شروع استال در نوک بال‌ها و گسترش داخلی آن با افزایش زاویه حمله بود. این تفاوت در نتایج تنها می‌توانست ناشی از یک فاکتور تداخل دیواره باشد که معادل افزایش سرعت جریان آزاد در مقیاسی بزرگتر از برآورد استانداردهای قبلی بود. هدف اصلی پژوهش ماسکل ارائه برهانی قانون‌کننده مبنی بر وجود این فاکتور تداخل و نیاز به اصلاحات با در نظر گرفتن افزایش مؤثر فشار دینامیکی جریان به‌واسطه محدودیت انسداد بدنه بود. تئوری ماسکل تقریباً برای تمامی جریان‌های دوبعدی حول مدل‌های پیخ و موقعیت‌های نزدیک به دنباله پایین‌دست جریان در جریان‌های سه‌بعدی صادق است. ماسکل زمانی که صفحه‌های تخت عمود بر جریان را آزمایش می‌کرده، متوجه شد فشار استاتیک آنها در سرتاسر مرز دنباله تا موقعیت بیشترین حباب جدایش ثابت است. وی براساس این تئوری کاربردی یک روش اصلاح برای آثار انسداد ارائه داد [۵]. روش گلد: او با به کارگیری صفحات تخت مستطیلی عمود بر جریان، که روی محور و دیوارهای تونل نصب شده بودند، یک

۳. روش‌های تصحیح آثار دیواره

امروزه استفاده از اصلاحات متدائل سبب کاهش آثار دیواره در آزمایشات پایا شده است. برخی از مهمترین مطالعات انجامشده در این زمینه بدین شرح است:

روش پپ: مدت‌های طولانی است که استانداردی برای آزمایشات تونل‌های باد کم‌سرعت با نسبت سطح^۹ بین ۱ تا ۱۰ درصد توسط پپ و هارپر (۱۹۶۶) و قبل از آن توسط پانکه‌رست و هلدر (۱۹۵۲) مطرح شده است. در این مطالعات به تبیین روش‌های مختلف جهت تصحیح اثار انسداد دنباله و انسداد بدنه پرداخته شده است [۳-۴]. بارلو، رائی و پپ پیشنهاد کردند که برای آزمایشات معمول تونل باد مقدار بیشینه ضریب انسداد کل، احتمالاً باید ۷/۵ درصد در نظر گرفته شود. در غیر این صورت چندین درصد خطای اضافی وارد نتایج می‌شود. همچنین تشریح کردند که در تونل باد با مقطع آزمون باز، علامت انسداد مخالف و مقدار آن کوچکتر از تونل باد با مقطع آزمون بسته است [۳].

روش ماسکل: رویکرد ماسکل بررسی مشکلات بدنه‌های پیخ^{۱۰} (همچون صفحه تخت عمود به جریان آزاد) برای اولین بار در تونل‌های باد با مقطع آزمون بسته بود. ماسکل نتایج حاصل از

محاسبه کردند. آنها نشان دادند با استفاده از یک ردیف فشاری در امتداد خط مرکزی دیوارهای جانبی تونل، که توزیع محوری انسداد بدن و دنباله را با یک بیشینه سرعت در عقب مدل ارائه می‌دهد، می‌توان به تخمین هندسه دنباله و در نتیجه انسداد دنباله پرداخت [۱۰-۹].

روش آلماراس: آلماراس نسخه دو بعدی روش هکت را ارائه داد. روش اصلی هکت برای مدل‌های سه بعدی ارائه شده بود. آلماراس برای آزمایشات دو بعدی مربوط به بال‌های هوایی XV-15 از این روش استفاده کرد [۱۱].

روش کانگ: کانگ نشان داد یکی دیگر از روش‌های امیدوارکننده استفاده از دیوارهای شکافدار است. این نوع دیواره از معایب جدایش جریان جلوگیری می‌کند. در این نوع دیواره یک پارامتر با عنوان نسبت سطح باز تعریف می‌شود. نتایج برای نسبت‌های مختلف سایز مدل به تونل و همچنین مقادیر متفاوت فرکانس کاهش‌یافته برای یک ایرفویل نوسانی در جریان مادون صوت تحت حرکت انتقالی نشان می‌داد که در نسبت سطح باز برابر ۶/۰ نتایج تجربی و تحلیلی تطابق خوبی دارند [۱۲].

۱-۳. روش انجام پژوهش

امروزه بیشتر آزمایشات اثربودنیمیکی داخل کشور در شرایطی انجام می‌شوند که آثار تداخل تونل مبتنی بر تجربه تا حدی در نظر گرفته شده و یا خطای ناشی از آن در نتایج پذیرفته شده است. ذکر این نکته حائز اهمیت است که برای دستیابی به دقت بالا و استفاده از نتایج در شرایط جریان آزاد خطاهای ناشی از آثار دیوارهای تونل باد را نمی‌توان در نظر نگرفت. معمولاً روش‌های تجربی بسیار پرهزینه و گران هستند. روش‌های عددی نیز بسیار زمانبر بوده و قابلیت پیاده‌سازی برای تمامی آزمایشات را ندارند؛ زیرا هر آزمایش هندسه و شرایط مزی خاص خود را دارد. استفاده از تکنیک‌های تجربی و تحلیلی بهصورت توانان جهت درک فیزیکی و تحلیلی از پدیده جریان بهمنظور ارائه روشی جامع، سریع و کم‌هزینه جهت کاهش یا حذف آثار دیواره در آزمایشات انجام‌شده داخل کشور مهمترین هدف در انجام این پژوهش بوده است. با توجه به بررسی‌های انجام‌شده، روش ارائه شده توسط آلماراس که در حقیقت نسخه دو بعدی روش هکت است به عنوان روش انجام تحقیق انتخاب شد که در شکل ۹ نمایی از تغییرات سرعت اختلالی این روش نمایش داده شده است [۱۱]. گفتنی

روش پیشرفته‌تر برای اصلاحات دنباله انجام‌شده توسط ماسکل ارائه داد. همچنین بهمنظور اصلاح ضرایب انسداد، مدل‌های پخ را در کف تونل نصب کرد. در طول این آزمایشات گلد مشاهده کرد که مکان مدل در تونل، تأثیر قابل توجهی بر اصلاحات مربوط به دنباله برای صفحات تخت ندارد و می‌توان از اندازه گیری‌های انجام‌شده برای محاسبه اصلاحات مربوط به انسداد مدل‌های بزرگ در معرض جدایش جریان، جهت تصحیح آثار انسداد در مدل‌های مشابه با هندسه کوچکتر استفاده کرد. اصلاحات مربوط به انسداد دنباله در روش ماسکل برای یک مدل در معرض جدایش جریان بدون توجه به موقعیت مدل نسبت به محور تونل اعمال می‌شود. همچنین حضور یک مدل بزرگ در تونل سبب ایجاد آثار عینی انسداد دنباله خواهد شد و ممکن است فشار استاتیکی را در ناحیه سوراخ‌های فشاری دیواره، که برای اندازه‌گیری سرعت تونل استفاده می‌شوند، تحت تأثیر قرار دهد. بنابراین برای از بین بردن خطا در اندازه‌گیری سرعت تونل باید اقداماتی صورت گیرد که برای انجام آن نمی‌توان انسداد واقعی دنباله را بهصورت جداگانه بررسی کرد [۶].

روش گلارت: در سال ۱۹۴۷ م، گلارت یک روش اصلاح بهخصوص در آزمایشات مربوط به ملح، که بعدها توسط فیتزجرالد نیز مورد استفاده قرار گرفت، ارائه کرد. گلارت با استفاده از قانون برنولی بیان کرد که فشار استاتیک در داخل و خارج جریان لغزیده شده یکسان است. در واقع فشار استاتیک بالاتر که مشاهده می‌شود روی ملح تأثیر می‌گذارد و در نتیجه نیروی پیشان بیشتری نسبت به حالت جریان آزاد تولید می‌شود. این دلیل برای حدس اینکه مقدار سرعت جریان معادل کمتر از سرعت تونل است کفايت می‌کرد. گلارت براساس مدل هلمهولتز برای جریان حول یک مدل پخ یک نظریه ارائه داد که برمبنای آن پسای جریان آزاد با پسای تونل مرتبط می‌شد [۸-۷].

روش هکت، لیلی و ویلزدن: دانشمندان شرکت لاکهید (هکت، لیلی و ویلزدن) با استفاده از روش اصلی توزیع تصویرها در تونل باد و به کارگیری پتانسیل‌های چاه و چشمۀ جهت مدل‌سازی سطح بدن معادل در یک جریان، بیان جدیدتری از اصلاح آثار انسداد ارائه دادند. آنها در این روش از اندازه‌گیری فشار استاتیک در دیوارهای کناری تونل جهت ساختن یک مجموعه ساده از تکینگی بهمنظور مدل‌سازی میدان جریان استفاده کردند و نهایتاً آثار دیواره را براساس چیدمان این مجموعه تکینگی

$$\left(\frac{\Delta u}{U_\infty}\right)_w = 2 \left\{ \frac{1}{4\pi} \left(\frac{Q_w}{U_\infty B} \right) \sum_{n=0}^{\infty} \left[\frac{\bar{x} - \bar{x}_2}{(\bar{x} - \bar{x}_2)^2 + (n+1/2)^2} - \frac{\bar{x} - \bar{x}_5}{(\bar{x} - \bar{x}_5)^2 + (n+1/2)^2} \right] \right\} \quad (2)$$

که در آن پتانسیل چشمۀ دنباله در $(x_2, 0)$ و پتانسیل چاه دنباله در $(x_5, 0)$ قرار گرفته است. همچنین فواصل با استفاده از عرض تونل B بی بعد شده‌اند. با توجه به روند کند همگرایی معادله بالا برای تخمین رابطه ۲ از یکتابع تانژانت هایپربولیک بهصورت ۳ استفاده می‌شود:

$$\left(\frac{\Delta u}{U_\infty}\right)_w = A_1 \{ 1 + \tanh [A_2 (\bar{x} - \bar{x}_2)] \} \quad (3)$$

در ابتدای روند حل فرض بر این است که پتانسیل چشمۀ دنباله در موقعیت مدل قرار دارد. ضرایب A_1 و A_2 از آنالیز عددی رابطه ۳ بدست می‌آیند. باید توجه داشت که مجانب پایین دست جریان برابر با $2A_1$ و همچنین شیب در نقطه $x = x_2$ برابر با $A_2 \times A_1$ است. در نهایت با آنالیز عددی رابطه ۳ ضرایب A_1 و A_2 بهصورت ۴ محاسبه می‌شوند:

$$A_2 = 3.056 \quad (4)$$

$$A_1 = \frac{1}{4} \left(\frac{Q_w}{U_\infty B} \right)$$

۳-۳. مدلسازی میدان جریان متقارن (بدنه / حباب‌های جداشی)

پس از مدلسازی دنباله و محاسبه سرعت اختلالی ایجادشده توسط آن روی دیواره نتایج حاصل، از مقادیر سرعت اختلالی اندازه‌گیری شده روی دیواره‌ها کم می‌شوند. برای محاسبه میدان جریان متقارن یک منحنی سهمی به داده‌های حاصل از تفاضل ذکر شده در بالا منطبق خواهد بود:

$$\left(\frac{\Delta u}{U_\infty}\right) = \alpha \bar{x}^2 + \beta \bar{x} + \gamma \quad (5)$$

با استفاده از ضرایب معادله منحنی منطبق شده (رابطه ۵) مقادیر بیشترین سرعت، مکان آن، همچنین عرض در نصف ارتفاع بهصورت زیر محاسبه می‌شوند:

$$\left(\frac{\Delta u}{U_\infty}\right)_{\max} = \gamma - \beta^2 / 4\alpha \quad (6)$$

$$\bar{x}_p = -\beta / 2\alpha \quad (7)$$

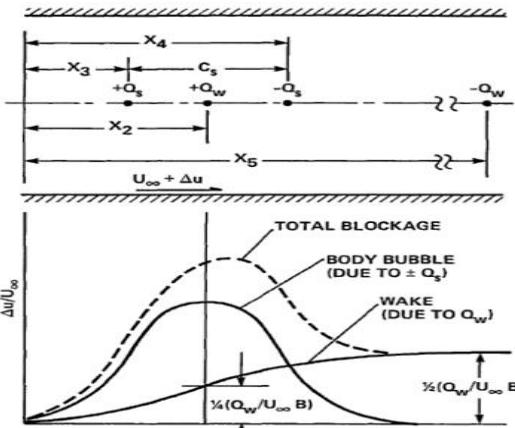
$$\Delta \bar{x} = 2 \sqrt{\frac{-\left(\Delta u / U_\infty\right)_{\max}}{2\alpha}} \quad (8)$$

پس از انطباق سهمی مهمترین مشکل بدست آوردن قدرت و فاصله پتانسیل چاه و چشمۀ بدنه است؛ زیرا باید توزیع سرعتی

است طبق گزارش ارائه شده توسط ناسا در سال ۲۰۱۲ م این سازمان هنوز از این روش جهت استخراج تصحیحات در تونل بادهای ترنسونیک خود استفاده می‌کند [۱۳]. فشار اندازه‌گیری شده در دیواره‌ها با استفاده از تعریف فشار دینامیکی و معادله ۱ به سرعت افزایشی یا اختلالی جریان آزاد در تونل تبدیل می‌شود:

$$\frac{\Delta u}{U_\infty} = \sqrt{1 - \Delta C_p} - 1 \quad (1)$$

بهطوری که در این رابطه ΔC_p اختلاف ضریب فشار دیواره در حالت آزمایش با حضور مدل و تونل خالی اندازه‌گیری شده و سرعت اختلالی بدست آمده شامل جمع آثار سرعت‌ها برای دو میدان جریان متقارن و غیرمتقارن است. میدان جریان متقارن وظیفه مدلسازی بدنه و حباب‌های ناشی از جداشی را جدایش دارد و با یک جفت پتانسیل چاه و چشمۀ با قدرت Q_s که در فاصله c_s نسبت به هم قرار گرفته‌اند مدل شده است. میدان جریان نامتقارن وظیفه مدلسازی دنباله را بر عهده دارد و با یک پتانسیل چشمۀ با قدرت Q_w که در مکان بیشینه، توزیع سرعت متقارن قرار گرفته، مدل شده است. در ادامه توصیفی از مدلسازی‌های مذکور آورده شده است.



شکل ۹. تقریب میدان جریان در تونل با استفاده از پتانسیل چشمۀ و چاه [۱۱]

۳-۴. مدلسازی میدان جریان نامتقارن (دباله)

اگرچه دنباله توسط یک پتانسیل چشمۀ Q_w مدل می‌شود، اما برای اطمینان از برقرارشدن قانون بقای جرم یک جرم یک پتانسیل چاه با قدرت برابر $-Q_w$ در فاصله دور از پایین دست جریان قرار داده می‌شود. علاوه بر این تأثیر دیواره‌ها بر میدان جریان با استفاده از جمع آثار یک ردیف بینهایت از تصویر پتانسیل‌ها مدلسازی می‌شود. بنابراین سرعت اختلالی ایجادشده روی یکی از دیواره‌ها توسط پتانسیل‌های چشمۀ و چاه دنباله بهصورت ۲ است:

براساس روابط ارائه شده به ضرایب برآ، پسا، ممان پیچ و سرعت اختلالی روی دیواره تبدیل می‌شوند. در نهایت ضرایب ائرودینامیکی اندازه‌گیری شده از طریق کد نوشته شده جهت اصلاح آثار انسداد تصحیح می‌شوند.

۴-۳. آماده‌سازی جدول‌ها برای محاسبه فاصله و قدرت

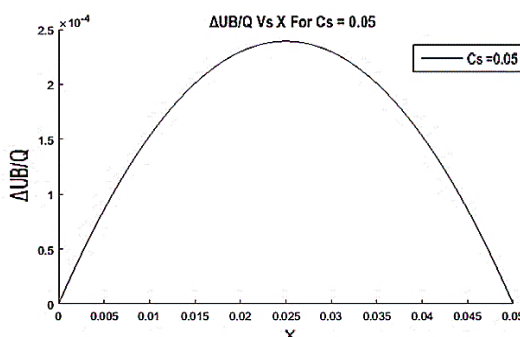
پتانسیل‌های بدن

در ابتدا با فرض قرار گرفتن پتانسیل‌های چشم و چاه بدن بهترتب در نقاط $(0,0)$ و $(C_s, 0)$ معادله ۱۱ بررسی می‌شود:

$$\frac{\Delta uB}{Q_s} = \frac{1}{2\pi} \sum_{n=0}^{+\infty} \left[\frac{\bar{x}}{\bar{x}^2 + (n+1/2)^2} - \frac{\bar{x} - \bar{c}_s}{(\bar{x} - \bar{c}_s)^2 + (n+1/2)^2} \right] \quad (11)$$

با حل معادله ۱۱ به ازای یک C_s خاص، توزیع سرعت اختلالی در ناحیه‌ای به طول C_s به دست می‌آید. همچنین با ارزیابی معادله ۱۱ در نقطه میانی $x = 0.5$ سرعت بیشینه که متوسط قدرت چاه بی بعد شده است $\max(\Delta uB/Q)$ محاسبه می‌گردد. برای بدست آوردن Δx نیز رابطه ۱۱ به ازای مقادیر مختلف x ارزیابی می‌گردد تا نقطه $x=x_{1/2}$ که در آن مقدار $\Delta uB/Q$ برابر با نصف مقدار $\max(\Delta uB/Q)$ است مشخص شود. شکل ۱۰ نمونه‌ای از حل معادله ۱۱ را نشان می‌دهد. در نهایت عرض در نصف ارتفاع که یک پارامتر هندسی است بهصورت زیر محاسبه می‌شود:

$$\Delta x = 2(\bar{x}_{1/2} - \frac{1}{2}\bar{c}_s) \quad (12)$$



شکل ۱۰. نمونه حل معادله ۱۱ به ازای $C_s = 0.05$

همان‌طور که در بالا اشاره شده برای انجام اصلاحات به توزیع سرعت اختلالی در راستای خط مرکزی تونل نیاز است که جهت محاسبه آن از رابطه ۱ استفاده می‌شود.

متناوب با سهمی به دست آمده داشته باشند. این کار با استفاده از جداول از پیش تعیین شده انجام می‌شود. خروجی این جداول‌ها فاصله بین پتانسیل چاه و چشم بدن C_s و سرعت بیشینه‌ای که توسط قدرت چاه بی بعد شده است $\max(\Delta uB/Q)$ می‌باشد. با استفاده از این سرعت و رابطه ۵ قدرت پتانسیل‌های چاه و چشم بدن Q_s به صورت زیر محاسبه می‌شود:

$$\frac{Q_s}{U_\infty B} = \frac{(\Delta u/U_\infty)_{\max}}{(\Delta uB/Q_s)_{\max}} \quad (9)$$

همچنین محل قرارگیری پتانسیل چاه و چشم بدن با توجه به فاصله بین آنها C_s که در مرحله قبل از جدول‌ها به دست آمده به صورت زیر محاسبه می‌گردد:

$$\bar{x}_4 = \bar{x}_p + \frac{1}{2}\bar{c}_s \quad (10)$$

$$\bar{x}_5 = \bar{x}_p - \frac{1}{2}\bar{c}_s$$

که در آن x_3 محل قرارگیری پتانسیل چشم بدن و x_4 محل قرارگیری پتانسیل چاه بدن است. پس از محاسبه قدرت و مکان پتانسیل‌های چاه و چشم برای حالت متقارن و غیرمتقارن (بدنه و دنباله)، توزیع سرعت اختلالی در راستای خط مرکزی تونل به دست می‌آید. با داشتن این توزیع سرعت به اصلاح فشار دینامیکی و دربی آن ضرایب ائرودینامیکی پرداخته می‌شود. همچنین از این توزیع سرعت می‌توان جهت تصحیح ضرایب فشار اندازه‌گیری شده روی مدل یا در هر ناحیه دلخواه در تونل استفاده کرد. جهت تحلیل داده‌ها در این پروژه ۵۵۰۰ خط برنامه در قالب چهارده تابع محاسباتی در زبان متلب نوشته شده است. جهت سهولت کاربر کد مربوطه در قالب یک نرم افزار تحت کنسول گرافیکی متلب (GUI) ارائه شده است. نرمافزار تولیدشده علاوه بر استخراج ضرایب تصحیح دیواره در قالب روش مورد استفاده، قابلیت تحلیل آزمایشات توزیع فشار روی مدل و دیواره در حالت‌های استاتیکی و دینامیکی (پیچشی، انتقالی و جز این‌ها) را دارد. در واقع این کد امکان استفاده سریع‌تر از روابط را فراهم کرده و خطاهای محاسباتی محتمل هنگام استفاده از روابط پی در پی را به حداقل می‌رساند. چون سیگنال اندازه‌گیری شده در حقیقت مجموع سیگنال اصلی و نویزهای ایجادشده روی آن می‌باشد، باید با استفاده از فیلتر، نویزهای مزاحم از روی اطلاعات به دست آمده حذف گردد. به این منظور فیلتر میانگین متحرک بر داده‌ها اعمال شده است. بعد از فیلتر داده‌ها فشارهای به دست آمده

تمایل مدل به کشیده شدن به سمت پایین دست جریان می شود. زمانی که توزیع فشار در سطح مدل قابل اندازه گیری باشد، برای اصلاح آثار مربوط به شناوری افقی از این روش استفاده می شود. پس ای شناوری در این روش به صورت زیر محاسبه می گردد:

$$\Delta CD = - \int_0^1 \Delta C_p(X) d\left(\frac{A(X)}{\delta(X)}\right) \quad (15)$$

به طوری که ΔC_p اختلاف بین فشار اصلاح شده و اصلاح نشده برای یک نقطه مشخص روی مدل است. همچنین $A(X)$ و $\delta(X)$ به ترتیب مساحت مقطعی و خサخت المانی از مدل در نقطه مد نظر است. در صورتی که توزیع فشار به هر دلیلی از جمله کوچک بودن مدل، محدودیت فضا و جز اینها قابل اندازه گیری نباشد، با استفاده از یک بالанс مومنتوم پس ای شناوری به صورت

محاسبه می شود:

$$\Delta C_{D_B} = -\frac{1}{2} \left(\frac{Q_w}{U_\infty B}\right)^2 \left(\frac{B}{C}\right) \quad (16)$$

به طوری که Q_w پتانسیل چشممه دنباله، B عرض تونل و C وتر مدل است. در نهایت اصلاح ضریب پس ای کل با در نظر گرفتن آثار شناوری و فشار دینامیکی به صورت زیر خواهد بود:

$$C_{D_c} = (C_{D_m} + \Delta C_{D_B}) (q_m / q_c) \quad (17)$$

به طوری که در آن C_{D_c} ضریب پس ای اصلاح شده و C_{D_m} ضریب پس ای اندازه گیری شده در تونل است.

۴-۳. اصلاح ضریب برآ و ممان پیچ

تصحیح ضریب برآ و ممان پیچ با استفاده از فشار دینامیکی اصلاح شده به صورت زیر انجام می شود:

$$C_{L_c} = (C_{L_m})(q_m / q_c) \quad (18)$$

$$C_{m_c} = (C_{m_m})(q_m / q_c) \quad (19)$$

که در آن C_{L_c} و C_{m_c} به ترتیب ضریب برآ و ممان اصلاح شده و C_{L_m} و C_{m_m} ضریب برآ و ممان اندازه گیری شده در تونل است.

$$\left(\frac{\Delta U}{U_\infty}\right)_{C-L} = \frac{1}{2\pi} \left(\frac{Q}{U_\infty B}\right) \sum_{n=1}^{+\infty} \left[\frac{\bar{x} - \bar{x}_0}{(\bar{x} - \bar{x}_0)^2 + n^2} \right] \quad (13)$$

با توجه به حجم بالای محاسبات مربوط به تعیین فاصله و قدرت پتانسیل های بدنه و همچنین زمانبودن آن بهخصوص در آزمایشات دینامیکی، بهتر است معادلات ۱۱، ۱۲ و ۱۳ با مقادیر از پیش تعیین شده حل شوند و به صورت جدول هایی همانند جدول ۱ با طبقه بندی مشخص جهت سهولت در انجام محاسبات در اختیار کاربر قرار گیرند. پس از محاسبه قدرت و فواصل پتانسیل های چاه و چشمه و به دست آوردن توزیع سرعت اختلالی در راستای خط مرکزی تونل به اصلاح آثار انسداد پرداخته می شود.

۴. انجام اصلاحات

پس از محاسبه قدرت و فواصل پتانسیل های چاه و چشمه و به دست آوردن توزیع سرعت اختلالی در راستای خط مرکزی تونل، توزیع منطقه ای فشار دینامیکی در راستای خط مرکزی محاسبه و بر مبنای آن اصلاح آثار انسداد انجام می شود.

۴-۱. اصلاح فشار دینامیکی

برای اصلاح فشار دینامیکی در تونل از رابطه ۱۴ استفاده می شود:

$$q_c = q_m (1 + \varepsilon_{max})^2 \quad (14)$$

که در آن q_c فشار دینامیکی تصحیح شده، q_m فشار دینامیکی اندازه گیری شده و ε_{max} بیشترین سرعت اختلالی $\left(\frac{\Delta U}{U_\infty}\right)$ در مرکز تونل است.

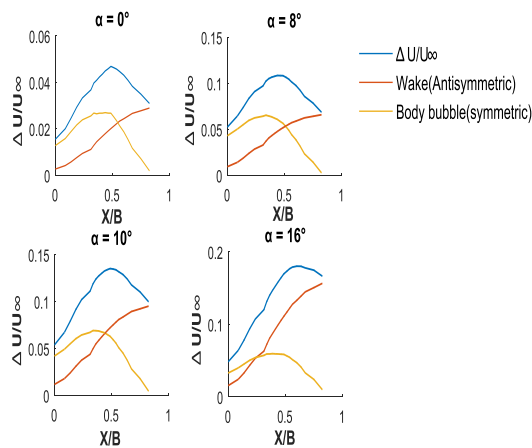
۴-۲. اصلاح ضریب پسا

یکی از مهمترین چالش ها در اصلاح ضریب پس ای اندازه گیری شده، تصحیح آثار مربوط به شناوری افقی، در امتداد محور طولی مقطع آزمون است. این اثر، که ناشی از ضخیم شدن لایه مرزی و پیشرفت آن است، منجر به کاهش مؤثر سطح جریان و در نتیجه

جدول ۱. حل معادله ۱۱ با مقادیر از پیش تعیین شده

$6/02 \times 10^{-5}$	$-0/000122$	$-0/000184$	$-0/000248$	$-0/000314$	$-0/00038$	$-0/000448$
صفر	$6/15 \times 10^{-5}$	$-0/000124$	$-0/000188$	$-0/000252$	$-0/00032$	$-0/000388$
$-6/15 \times 10^{-5}$	صفر	$6/28 \times 10^{-5}$	$-0/000127$	$-0/000192$	$-0/000259$	$-0/000326$
$-0/00012$	$-6/28 \times 10^{-5}$	صفر	$6/40 \times 10^{-5}$	$-0/00129$	$-0/000196$	$-0/000264$
$-0/00019$	$-0/00013$	$-6/40 \times 10^{-5}$	صفر	$6/53 \times 10^{-5}$	$-0/00132$	$-0/002$
$-0/00025$	$-0/00019$	$-0/00013$	$-6/53 \times 10^{-5}$	صفر	$6/67 \times 10^{-5}$	$-0/000135$
$-0/00032$	$-0/00026$	$-0/0002$	$-0/00013$	$-6/87 \times 10^{-5}$	صفر	$6/80 \times 10^{-5}$
$-0/00039$	$-0/00033$	$-0/00026$	$-0/0002$	$-0/00013$	$-6/80 \times 10^{-5}$	صفر

جريان بهعلت حضور مدل است، علاوه بر این می‌توان مشاهده کرد که فشار بعد از مدل فوراً کاهش پیدا می‌کند. این افزایش منطقه‌ای سرعت جريان ناشی از انقباض جريان بسبب اثر متقابل انسداد بدنه و انسداد دنباله می‌باشد. پس از اندازه‌گیری توزيع فشار ايجادشده توسط مدل روی دیواره، توزيع سرعت اختلالی در طول دیواره محاسبه شد.



شکل ۱۲. مدل‌سازی میدان جريان در زوایای حمله صفر، ۸، ۱۰ و ۱۶ درجه

پس از محاسبه توزيع سرعت اختلالی روی دیواره نتایج حاصل از مدل‌سازی میدان جريان نامتقارن از مقادير سرعت اختلالی اندازه‌گیری شده در طول دیواره همان‌طور که در شکل ۱۲ نشان داده شده، کسر می‌شود و در نهايیت میدان جريان متقارن (اثر انسداد بدنه) بهدست می‌آيد. برای محاسبه میدان جريان متقارن، يك منحنی سهمی به داده‌های حاصل از تفاضل جريان متقارن، يك منحنی سهمی به داده‌های حاصل از تفاضل ذکر شده در بالا منطبق خواهد بود. با توجه به وابستگی شدید مقادير قدرت و فواصل پتانسیل‌های چاه و چشممه میدان جريان متقارن به ضرایب بهدست آمده از منحنی، دقت بالا در انطباق اين منحنی به دقت بهدست آوردن صحيح ضرایب اصلاح يکی از نیازمندی‌های اساسی است. طبق استاندارد ارجائشده توسط هکت برای حصول اطمینان از دقت مورد نیاز در انطباق اين منحنی باید قدر مطلق مقدار تفاضل مكان پتانسیل چشممه دنباله و مكان بیشترین سرعت بهدست آمده از منحنی کوچکتر از 0.01% باشد [۱۰]. چنانچه اين شرط برقرار نباشد، باید مكان پتانسیل چشممه دنباله را برابر مكان بیشترین سرعت قرار داده و دوباره محاسبات را تکرار كرد تا جایی که شرط ارضاء شود. مقدار اين تفاضل در شکل ۱۳ ارجائه شده است. بهعبارت ديگر مكان پتانسیل چشممه دنباله، که در شکل ۷ در موقعیت x_2 نشان داده شده است،

۴-۴. اصلاح ضریب فشار

تصحیح ضریب فشار بهصورت زیر انجام می‌شود:

$$C_{p_c} = \frac{C_{p_u} - 1}{\left(1 + \frac{\Delta U}{U_\infty}\right)^2} + 1 \quad (20)$$

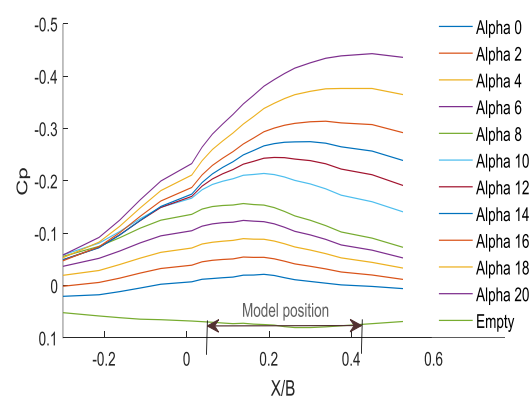
كه C_{p_c} ضریب فشار اصلاح شده و C_{p_u} ضریب فشار اصلاح نشده است. همچنین $\frac{\Delta U}{U_\infty}$ تغییر سرعت اختلالی در راستای محور طولی توغل است. اگر تغییرات سرعت در راستای محور طولی ثابت نباشد، سرعت اختلالی و ضریب فشار اصلاح نشده را به عنوان تابعی از مکان x در نظر گرفته می‌شود.

$$C_{p_c} = \frac{C_{p_u}(x) - 1}{\left(1 + \frac{\Delta U(x)}{U_\infty}\right)^2} + 1 \quad (21)$$

با استفاده از رابطه ۲۱ می‌توان فشار اندازه‌گیری شده در هر نقطه دلخواه از مدل یا جريان را اصلاح کرد و دربي آن به اصلاح ضرایب اثرودينامیکی اندازه‌گیری شده با دقت بالا پرداخت.

۵. نتایج

در شکل ۱۱ فشار اندازه‌گیری شده روی دیواره بالایی در حالت استاتیکی به ازای زوایای حمله متفاوت نمایش داده شده است. مكان سوراخ‌های اندازه‌گیری فشار روی دیواره نسبت به عرض توغل (۸۰۰ میلی‌متر) بی بعد شده‌اند.



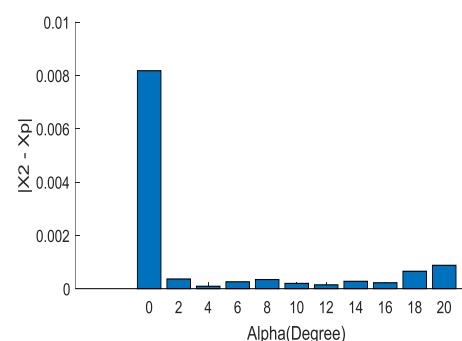
شکل ۱۱. تغییرات ضریب فشار ايجادشده توسط مدل روی دیواره براساس زاویه حمله

همان‌گونه که مشاهده می‌شود، فشار استاتیک در بالادرست مدل دارای مقادير کمتری نسبت به حالت توغل خالي (بدون حضور مدل) می‌باشد که گواه اثر انسداد کل در بالادرست جريان است. همچنین با افزایش زاویه حمله ضریب فشار منفی روی دیواره افزایش می‌يابد که اين پدیده نشان‌دهنده افزایش سرعت

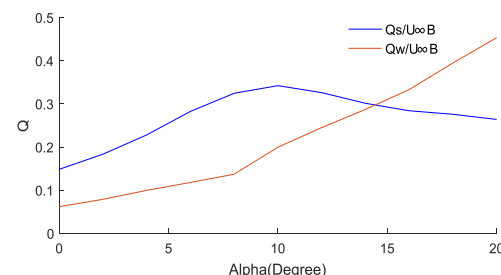
جريان، جهت درک بهتر آثار انسداد با استفاده از قدرت و فاصله پتانسیل‌ها، بدن‌های معادل با شکل مؤثر مدل مدلسازی شد. بدین‌منظور بدن‌های معادل برای زاویه حمله صفر در شکل ۱۵ نمایش داده شده است. در ادامه نتایج مربوط به زاویه حمله ۱۰ درجه نیز در شکل ۱۶ نمایش داده شده است. همان‌گونه که مشاهده می‌شود با افزایش زاویه حمله، بدن‌های معادل بزرگتر شده‌اند؛ ناحیه شروع اثار دنباله روی مدل جلوتر (به سمت لبه حمله مدل) آمده است و نقاط ابتدایی و انتهایی بدن‌های معادل با اثر انسداد کل و انسداد بدن به ترتیب عقب‌تر و جلوتر آمده است. گام آخر برای بررسی دقیق در صحبت روش پیاده‌سازی شده قبل از به‌دست آمدن ضرایب تصحیح، بازسازی سرعت اختلالی به‌دست آمده از توزیع فشار اندازه‌گیری شده روی دیواره می‌باشد. نتایج مربوط به بازسازی توزیع سرعت اختلالی اندازه‌گیری شده روی دیواره به ازای زوایای حمله صفر، ۸، ۱۰ و ۱۶ درجه در شکل ۱۷ ارائه شده است. پس از محاسبه قدرت و فاصله پتانسیل‌های چاه و چشمۀ، توزیع سرعت اختلالی کل (۴) که در واقع بیانگر توزیع محلی فشار دینامیکی در راستای خط مرکزی تونل می‌باشد، با جمع آثار هر یک از پتانسیل‌ها به‌دست می‌آید. در نهایت با استفاده از این توزیع سرعت به اصلاح آثار انسداد پرداخته می‌شود. نتایج مربوط به توزیع سرعت اختلالی در مرکز تونل به ازای زوایای حمله صفر، ۸، ۱۰ و ۱۶ درجه در شکل ۱۸ ارائه شده است. همان‌طور که مشاهده می‌شود با افزایش زاویه حمله مقدار سرعت اختلالی، که بیانگر افزایش اثر انسداد می‌باشد، افزایش می‌یابد. برای درک بهتر این موضوع مقدار بیشینه این سرعت (E_{max}) بر حسب زوایای حمله در شکل ۱۹ نشان داده شده است.

پس از به‌دست آمدن توزیع سرعت اختلالی به اصلاح ضریب فشار اندازه‌گیری شده روی مدل پرداخته می‌شود. نکته حائز اهمیت در این بخش این است که اصلاح ضرایب فشار با استفاده از توزیع ضریب انسداد کل به‌صورت محلی صورت می‌پذیرد. به عبارت دیگر با توجه به اینکه توزیع ضریب انسداد در راستای محور طولی ثابت نیست و ضریب انسداد هر نقطه روی مدل با نقطه دیگر متفاوت است فشار اندازه‌گیری شده در هر نقطه فشاری متناسب با ضریب انسداد مکان آن نقطه اصلاح می‌شود در شکل‌های ۲۰ تا ۲۳ نتایج مربوط به اصلاح توزیع فشار اندازه‌گیری شده به ازای زوایای حمله صفر، ۸، ۱۰ و ۱۶ درجه نشان داده شده است.

می‌بایست با مکان ماکریم منحنی انسداد بدن که با خط پیوسته نشان داده شده است اختلاف کمتر از ۱٪ داشته باشد. همان‌طور که مشاهده می‌شود، مقدار تفاضل مکان پتانسیل چشمۀ دنباله و مکان بیشترین سرعت، کمتر از ۱٪ است که این نشان‌دهنده دقیق بالا در انطباق سه‌می‌جهت مدلسازی میدان جریان متقاضی است. پس از مدلسازی میدان جریان و استخراج قدرت پتانسیل‌های چاه و چشمۀ به بررسی رفتار آنها در شکل ۱۴ پرداخته شده است.

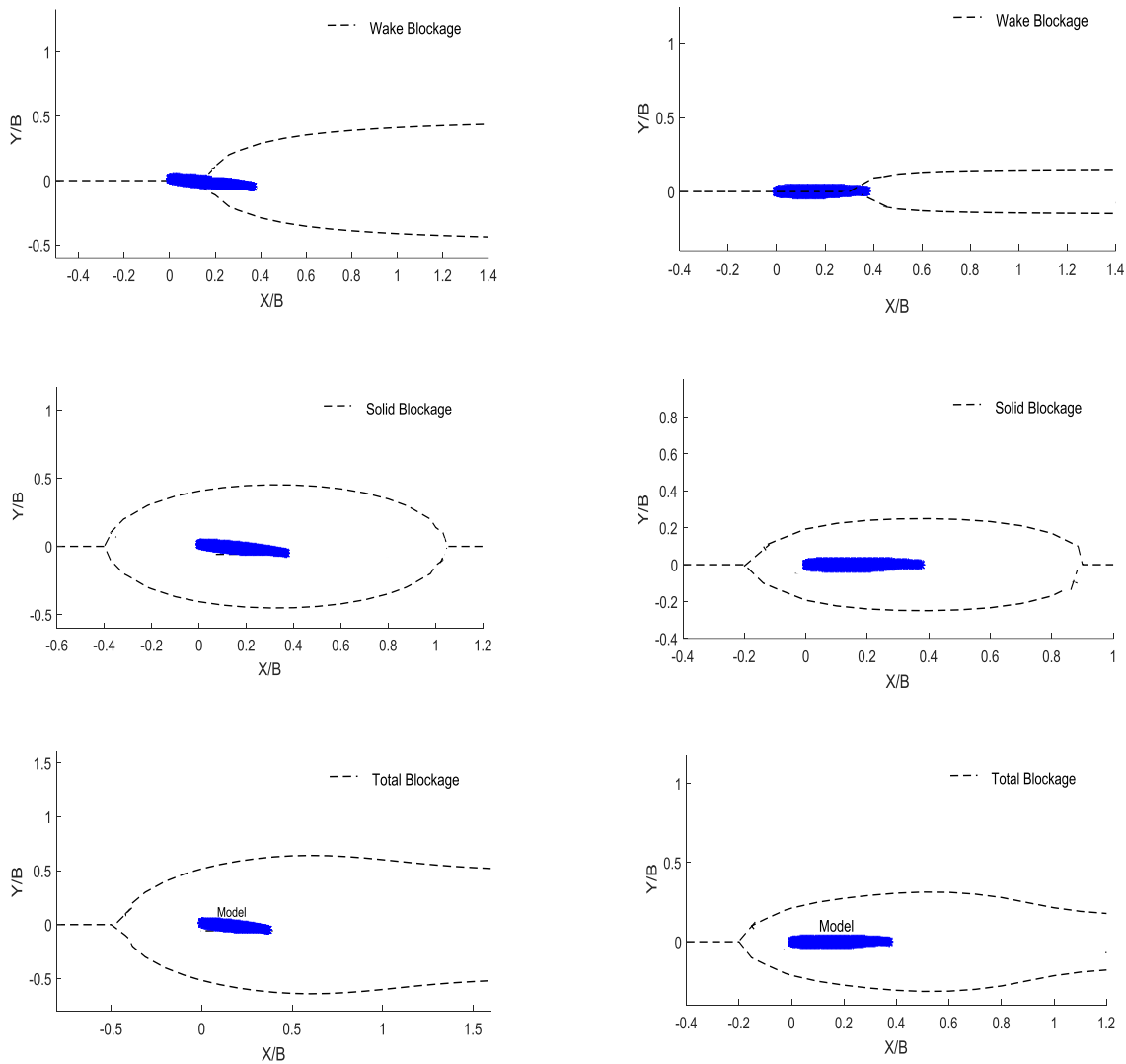


شکل ۱۳. مقدار تفاضل مکان پتانسیل چشمۀ دنباله و مکان بیشترین سرعت بر حسب زاویه حمله



شکل ۱۴. قدرت پتانسیل‌های دنباله و بدن بر حسب زوایای حمله

با توجه به شکل ۱۴ با افزایش زاویه حمله قدرت پتانسیل‌های بدن، که وظیفه مدلسازی آثار بدن و حباب‌های جدایش را بر عهده دارند، تا زاویه ۱۰ درجه افزایش یافته و پس از آن کاهش می‌یابد که این امر نشان‌دهنده کاهش اثر انسداد بدن به علت متلاشی شدن حباب‌های جدایش بعد از زاویه واماندگی می‌باشد. از طرفی، قدرت پتانسیل دنباله نیز که وظیفه مدلسازی آثار دنباله را بر عهده دارد، به دلیل رشد دهانه دنباله افزایش می‌یابد. پس از زاویه حمله ۱۰ درجه با افزایش زاویه حمله اندازه ناحیه جدایش بیشتر شده و این امر سبب افزایش دهانه دنباله می‌گردد تا جایی که تقریباً پس از زاویه حمله ۱۵ درجه اثر انسداد دنباله بیشتر از انسداد بدن می‌شود. پس استخراج قدرت پتانسیل‌های چاه و چشمۀ میدان

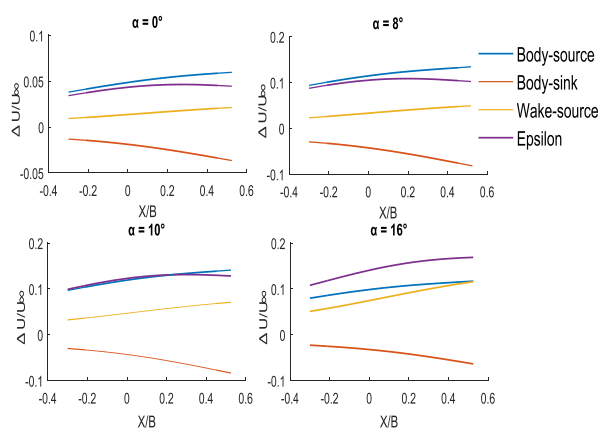


شکل ۱۶. بدنه معادل برای اثر انسداد دنباله، انسداد بدنه و انسداد کل برای زاویه حمله ۱۰ درجه

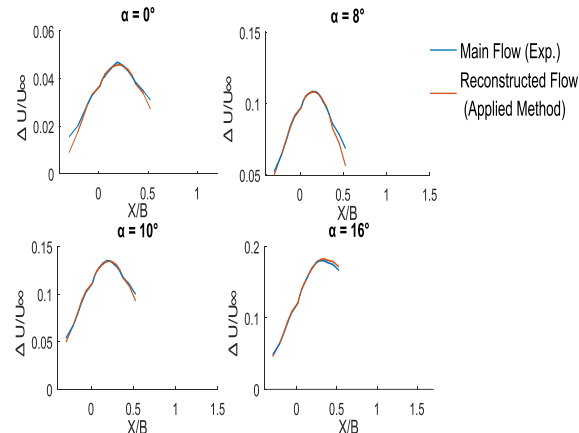
زاویه حمله می‌باشد که این مسئله نشان‌دهنده نیاز مبرم به اصلاح آثار دیواره خصوصاً در زوایای حمله بالاست. به عبارت دیگر جهت حصول اطمینان از صحت مقادیر اندازه‌گیری شده در تونل باد نمی‌توان از آثار دیواره صرف‌نظر کرد. همان‌گونه که مشاهده می‌شود نتایج حاصل از دو روش ارائه شده جهت اصلاح ضرایب ائرودینامیکی نشان داده شده در جدول ۲ دارای اختلاف نسبتاً کمی به ازای زوایای حمله متفاوت می‌باشد که این اختلاف را می‌توان ناشی از کوتاه بودن ناحیه اندازه‌گیری روی دیواره و در نتیجه عدم تخمین دقیق بیشینه سرعت اختلالی (ϵ_{max}) دانست. لذا می‌توان گفت مقادیر اصلاح شده توسط دو روش فوق دارای مقادیر یکسان‌اند که بیانگر صحت عملکرد روش مورد استفاده می‌باشد.

شکل ۱۵. بدنه معادل برای اثر انسداد دنباله، انسداد بدنه و انسداد کل برای زاویه حمله صفر درجه

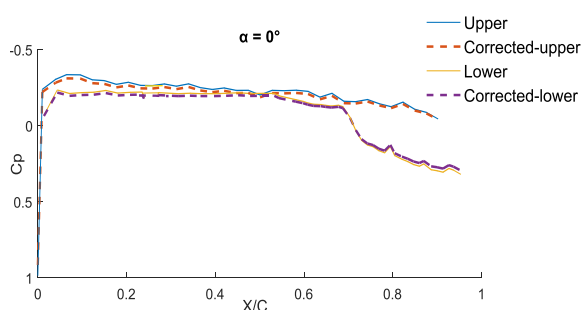
اصلاح ضرایب ائرودینامیکی به دو روش انجام گرفت: (۱) با استفاده از توزیع فشار تصحیح شده براساس توزیع سرعت اختلالی در مرکز تونل، (۲) استفاده از فشار دینامیکی تصحیح شده براساس مقدار بیشینه سرعت اختلالی (ϵ_{max}) در مرکز تونل. نکته حائز اهمیت در این بخش این است که انتظار می‌رود نتایج حاصل از هر دو روش ارائه شده در بالا دارای مقادیر نسبتاً یکسانی باشند. در ادامه نتایج مربوط به اصلاح ضرایب ائرودینامیکی در شکل‌های ۲۴ تا ۲۷ به ازای زوایای حمله متفاوت ارائه شده است. با توجه به شکل ۲۵ بیشینه مقدار درصد اختلاف ضریب برآ اندازه‌گیری شده و ضریب برآ اصلاح شده تقریباً برابر با ۲۸ درصد در زاویه حمله ۲۰ درجه است که این امر بیانگر افزایش آثار دیواره با افزایش



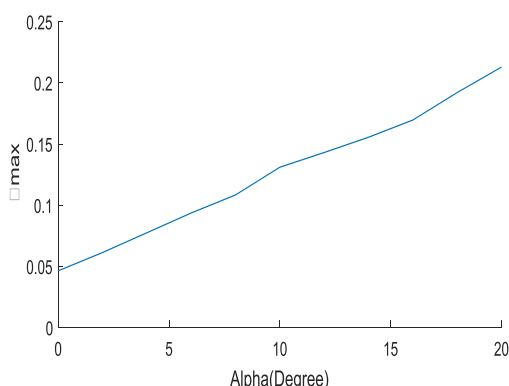
شکل ۱۸. توزیع سرعت اختلالی در راستای خط مرکزی تونل در زوایای حمله صفر، ۸، ۱۰ و ۱۶ درجه



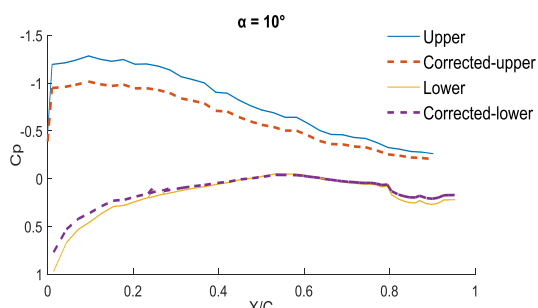
شکل ۱۷. مقایسه بین سرعت اختلالی بازسازی شده و سرعت اختلالی اندازه‌گیری شده در زوایای حمله صفر، ۸، ۱۰ و ۱۶ درجه



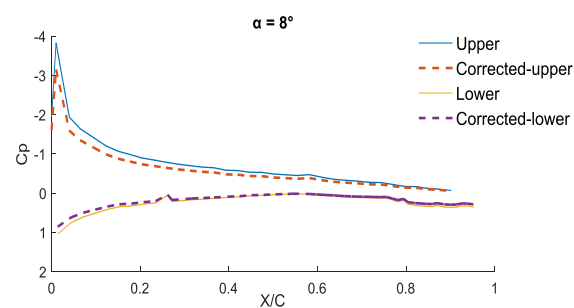
شکل ۲۰. اصلاح توزیع فشار اندازه‌گیری شده روی مدل در زاویه حمله صفر



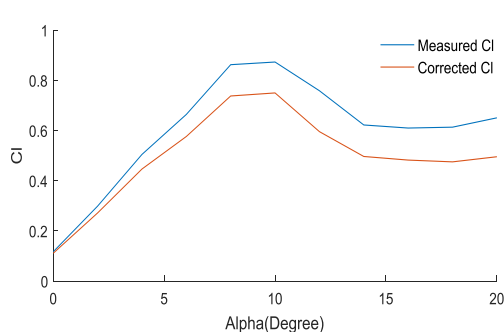
شکل ۱۹. مقدار بیشینه سرعت اختلالی (ϵ_{max}) بر حسب زوایای حمله



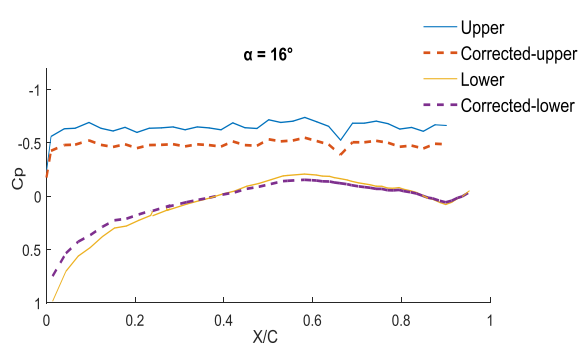
شکل ۲۲. اصلاح توزیع فشار اندازه‌گیری شده روی مدل در زاویه حمله ۱۰ درجه



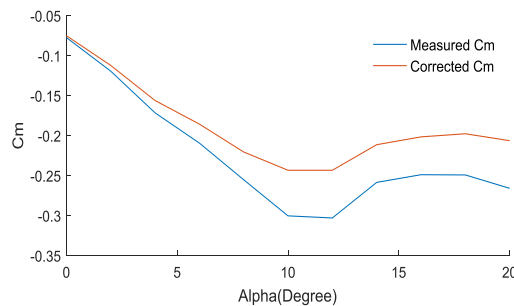
شکل ۲۱. اصلاح توزیع فشار اندازه‌گیری شده روی مدل در زاویه حمله ۸ درجه



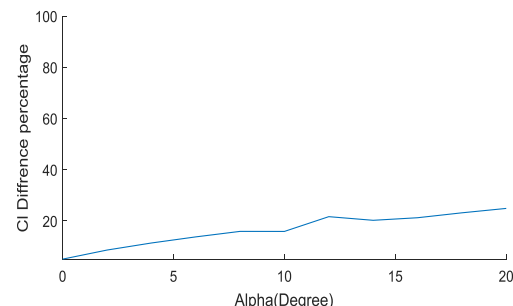
شکل ۲۴. ضریب برا اصلاح شده به ازای زوایای حمله مختلف



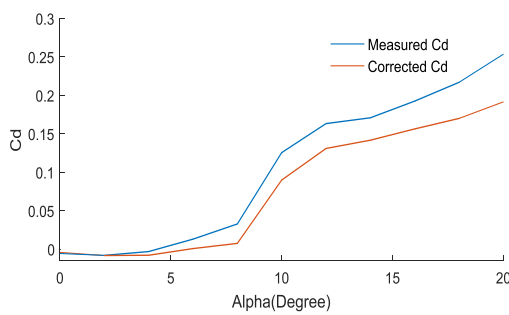
شکل ۲۳. اصلاح توزیع فشار اندازه‌گیری شده روی مدل در زاویه حمله ۱۶



شکل ۲۶. نمایی از نمودار ضریب ممان اصلاح شده به ازای زوایای حمله مختلف



شکل ۲۵. درصد اختلاف ضریب برآ اندازگیری شده و ضریب برآ اصلاح شده به ازای زوایای حمله مختلف



شکل ۲۷. ضریب پسای اصلاح شده به ازای زوایای حمله مختلف

جدول ۲. مقایسه نتایج به دست آمده از اصلاح ضرایب ائرودینامیکی با استفاده از فشار دینامیکی و توزیع فشار تصحیح شده

درصد اختلاف بین دو روش انجامشده	ضریب برآ اصلاح شده با استفاده از روش اصلاح ضریب فشار (C_p)	ضریب برآ اصلاح شده با استفاده از روش اصلاح فشار دینامیکی (ϵ_{max})	ضریب برآ اندازگیری شده	زاویه حمله
۲/۷	۰/۱۰۸	۰/۱۱۱	۰/۱۱	صفر
۱/۷	۰/۲۶۷	۰/۲۷۱	۰/۲۹	۲
۲	۰/۴۳۷	۰/۴۴۶	۰/۵۰	۴
۲/۹	۰/۵۵۹	۰/۵۷۶	۰/۶۶	۶
۴/۲	۰/۷۰۶	۰/۷۳۷	۰/۸۶	۸
۴/۵	۰/۶۸۷	۰/۷۲۰	۰/۸۷	۱۰
۱/۴	۰/۵۸۷	۰/۵۹۵	۰/۷۵	۱۲
۴/۴	۰/۴۷۴	۰/۴۹۶	۰/۶۲	۱۴
۵/۳	۰/۴۵۶	۰/۴۸۲	۰/۶۱	۱۶
۶/۲	۰/۴۴۵	۰/۴۷۵	۰/۶۱	۱۸
۷/۲	۰/۴۵۹	۰/۴۹۵	۰/۶۵	۲۰

۶. جمع‌بندی

ارائه شده نشان می‌دهد فشار استاتیک در بالادست مدل دارای مقادیر کمتری نسبت به حالت تونل خالی (بدون حضور مدل) می‌باشد که گواه اثر انسداد کل در بالادست جریان است. همچنین با افزایش زاویه حمله ضریب فشار منفی روی دیواره افزایش

در این مقاله آثار دیواره برای یک ایرفویل فوق بحرانی در زوایای حمله متفاوت در سرعت ۳۰ متر بر ثانیه، معادل رینولدز ۶۰۰۰۰۰ بررسی شد. برای این منظور یک سری سوراخ فشاری در امتداد طول مقطع آزمون برای توصیف جریان تونل استفاده شد. نتایج

انسداد با استفاده از قدرت و فاصله پتانسیل‌ها، بدن‌های معادل با شکل مؤثر مدل مدلسازی شد. نتایج ارائه شده در این بخش نشان می‌داد با افزایش زاویه حمله، بدن‌های معادل بزرگ‌تر شده‌اند. ناحیه شروع آثار دنباله روی مدل جلوتر (به سمت لبه حمله مدل) آمده است. همچنین نقاط ابتدایی و انتهایی بدن‌های معادل با اثر انسداد کل و انسداد بدن به ترتیب عقب‌تر و جلوتر آمده است.

مهمترین ضعف نتایج تجربی در این پروژه کوتاه‌بودن ناحیه اندازه‌گیری (به علت محدودیت فضای اندازه‌گیری در اتاق آزمون) در بالادست و پایین‌دست جریان بود؛ زیرا هنوز فشار روی دیواره بازیابی نشده و به یک مقدار تقریباً ثابت نرسیده بود. به همین دلیل توصیه می‌شود جهت اندازه‌گیری فشار دیواره نکات زیر در نظر گرفته شود. مقاطع آزمون با طول حدود $1/5$ برابر عرض توپل برای به دست آوردن مجانب‌های پایین‌دست مطلوب هستند. فاصله سوراخ‌های فشاری دیواره بر خلاف مدل باید خیلی کوچک باشد و می‌تواند در قسمت انتهایی اتاق آزمون که در آن تغییرات فشار کم است افزایش یابد. برای دقت در به دست آوردن مجانب پایین‌دست توجه به این امر ضروری است که معمولاً طول اتاق‌های آزمون، به خصوص برای مدل‌های بزرگ بسیار کوتاه است و می‌تواند اندازه‌گیری فشار بالادست را دچار مشکل کند. با توجه به نتایج ارائه شده نیاز به اصلاح مقادیر اندازه‌گیری شده در توپل باد خصوصاً در آزمایشات استاتیکی با زاویه حمله بالا به خوبی مشهود است. بنابراین ذکر این نکته حائز اهمیت است که برای دستیابی به دقت بالا خطاهای ناشی از آثار دیواره‌های توپل باد را نمی‌توان در نظر نگرفت. توزیع فشار اندازه‌گیری شده روی ایرفویل نشان می‌داد و اماندگی استاتیکی در محدوده زاویه 10° درجه اتفاق می‌افتد. با توجه به نتایج ارائه شده مربوط به مدلسازی جریان، با افزایش زاویه حمله قدرت پتانسیل‌های بدن که وظیفه مدلسازی آثار بدن و حباب‌های جدایش را بر عهده دارند تا زاویه 10° درجه افزایش یافته و پس از آن کاهش می‌یابد که این امر نشان‌دهنده اثراً انسداد بدن به علت متلاشی شدن حباب‌های جدایش بعد از زاویه و اماندگی می‌باشد. از طرفی قدرت پتانسیل دنباله نیز که وظیفه مدلسازی آثار دنباله را بر عهده دارد به دلیل رشد دهانه دنباله افزایش می‌یابد. پس از زاویه حمله 10° درجه با افزایش زاویه حمله اندازه ناحیه جدایش بیشتر شده و این امر سبب افزایش دهانه دنباله می‌گردد تا جایی که تقریباً پس از زاویه حمله 15° درجه اثر انسداد دنباله بیشتر از انسداد بدن می‌شود.

می‌یابد که این پدیده نشان‌دهنده افزایش سرعت جریان به علت حضور مدل است. علاوه بر این، فشار بعد از مدل فوراً کاهش پیدا می‌کند که این افزایش محلی سرعت جریان ناشی از انقباض جریان به سبب اثر متقابل انسداد بدن و انسداد دنباله می‌باشد. تجزیه و تحلیل فشارهای رو دیواره نه تنها ارزیابی منحصر به فردی از انسداد بدن و دنباله انجام داد، که نشان‌دهنده افزایش سرعت اختلالی در هر مقطع از اتاق آزمون بود. در این روش اساساً مفهوم محاسبه آثار بدن و دنباله برمبنای فشار اندازه‌گیری شده روی دیواره، بیانگر دو ناحیه متقارن (جهت مدلسازی آثار انسداد بدن) و نامتقارن (جهت مدلسازی آثار انسداد دنباله) با پارامترهای مشخص جهت به دست آوردن توزیع سرعت اختلالی می‌باشد. با به کارگیری توزیع فشار اندازه‌گیری شده روی دیواره توپل، میدان جریان حول مدل با پتانسیل‌های چاه و چشم به صورت تقریبی تخمین زده شد. پس از آن با استفاده از یک الگوریتم سریع توزیع این پتانسیل‌ها در راستای خط مرکزی توپل محاسبه شد و در نهایت با محاسبه آثار انسداد، توزیع فشار روی مدل، فشار دینامیکی و ضرایب ائرودینامیکی اندازه‌گیری شده اصلاح گردید. اصلاح ضرایب فشار با استفاده از توزیع ضریب انسداد کل به صورت منطقه‌ای صورت گرفت. به عبارت دیگر، با توجه به اینکه توزیع ضریب انسداد در راستای محور طولی توپل ثابت نبود و ضریب انسداد هر نقطه با نقطه دیگر متفاوت بود فشار اندازه‌گیری شده در هر نقطه فشاری متناسب با ضریب انسداد مکان آن نقطه اصلاح گردید. اصلاح ضرایب تئرودینامیکی نیز به دو روش انجام شد: در روش اول جهت به دست آوردن ضرایب ائرودینامیکی به جای استفاده از توزیع فشار اندازه‌گیری شده روی مدل، از توزیع فشار اصلاح شده روی مدل استفاده شد. در روش دوم با استفاده از فشار دینامیکی تصحیح شده براساس مقدار بیشینه سرعت اختلالی (E_{max}) در مرکز توپل این اصلاحات صورت پذیرفت. با توجه به نتایج مشاهده شد که نتایج حاصل از دو روش ارائه شده دارای مقادیر کمی اختلاف هستند که این امر بیانگر صحت عملکرد روش پیاده‌سازی شده است.

برای بررسی دقت در صحت روش پیاده‌سازی شده قبل از به دست آمدن ضرایب تصحیح، سرعت اختلالی به دست آمده از توزیع فشار اندازه‌گیری شده روی دیواره بازسازی شد که تطابق خوبی با نتایج تجربی داشت. همچنین پس از استخراج قدرت پتانسیل‌های چاه و چشم میدان جریان، جهت درک بهتر آثار

فهرست علائم و اختصارات	
Q_s	قدرت پتانسیل چشمۀ بدنه
$-Q_s$	قدرت پتانسیل چاه بدنه
Q_w	قدرت پتانسیل چشمۀ دنباله
$-Q_w$	قدرت پتانسیل چاه دنباله
q_m	فشار دینامیکی اندازه‌گیری شده
q_c	فشار دینامیکی تصحیح شده
x_2	محل قرارگیری پتانسیل چشمۀ دنباله
x_5	محل قرارگیری پتانسیل چاه دنباله
\bar{x}_p	مکان بیشترین سرعت در میدان جریان متقارن
$\Delta\bar{x}$	عرض در نصف ارتفاع در میدان جریان متقارن
x_3	محل قرارگیری پتانسیل چشمۀ بدنه
x_4	محل قرارگیری پتانسیل چاه بدنه
ε_{\max}	بیشینه سرعت اختلالی
B	عرض مقطع آزمون در تونل
C_s	فاصلۀ بین پتانسیل‌های چاه و چشمۀ بدنه
C	وتر مدل
CD_m	ضریب پسای اندازه‌گیری شده
CD_c	ضریب پسای اصلاح شده
CL_m	ضریب برآ اندازه‌گیری شده
CL_c	ضریب برآ اصلاح شده
CM_m	ضریب ممان اندازه‌گیری شده
CM_c	ضریب ممان اصلاح شده
C_{p_u}	ضریب فشار اصلاح نشده (اندازه‌گیری شده)
C_{p_c}	ضریب فشار اصلاح شده
Δcp	اختلاف ضریب فشار دیواره در آزمایش با حضور مدل و تونل خالی

۷. مأخذ

- [1] J. B. R. Barlow, W. H. Pope, *Low Speed Wind Tunnel Testing*, Third Edition, John Wiley and Sons, 1999.
- [2] B. c. f. b. u. c. f. ESDU Data Memorandum 80024, Endorsed by the Royal Aeronautical Society, Issued November (1980), with Amendments A, March, (1998).
- [3] A. H. Pope, J. J., *Low Speed Wind Tunnel Testing*, New York: John Wiley & Sons, 1966.
- [4] R. Pankhurst, C. Holder, D. W., *Wind-Tunnel Techniques: An Account of Experimental Methods in Low- and High-Speed Wind Tunnels*, Pitman, London, 1952.
- [5] E. Maskell, *A Theory of the Blockage Effects on Bluff Bodies and Stalled Wings in a Closed Wind Tunnel*, ARC R&M 3400, 1965.
- [6] R. Gould, W. F., Wake Blockage Corrections in a Closed Wind Tunnel for One or Two Wall-Mounted Models Subject to Separated Flow, Aeronautical Research Council, R & M. No. 3649, 1970.
- [7] H. W. T. I. W. Glauert, Bodies, and Airscrews, R & M No. 1566, British A.R.C., 1933.
- [8] H. Glauert, *The Elements of Aerofoil and Airscrew Theory*, Second Edition, Cambridge University Press, 1947.
- [9] J. Hackett, E. Wilsden, D. J., Determination of Low Speed Wake Blockage Corrections via Tunnel Wall Static Pressure Measurements,
- AGARD Fluid Dynamic Panel Symposium on Windtunnel Design and Testing Techniques, London, England, 1975.
- [10] J. Hackett, L. Lilley, D. E. Wilsden, D. J., Estimation of Tunnel Blockage from Wall Pressure Signatures: A Review and Data Correlation, NASA CR-15, 224, March, 1979.
- [11] S. Allmaras, R., On Blockage Corrections for Two-Dimensional Wind Tunnel Tests Using the Wall-Pressure Signature Method, NASA Technical Memorandum 86759, March, 1986.
- [12] L. Kong, Parkinson, G. V., Unsteady Flow testing in a Passive Low-Correction Wind Tunnel In Wall Interference, Support Interference and Flow Field Measurements, AGARD CP 535 (1994), pp. 22-122-7.
- [13] NASA Common Research Model, "Wall CorrectionMethods", <https://commonresearchmodel.larc.nasa.gov/wall-correction-methods> (accessed 25 March 2018).

پی نوشت

-
1. horizontal buoyancy
 2. solid blockage
 3. wake blockage
 4. streamline curvature
 5. total blockage
 6. national Instrument
 7. baise error
 8. precision error
 9. نسبت مقطع عرضی توغل به مساحت جاروبشده توسط مدل
 10. bluff body